

## ИЗМЕНЕНИЕ КОЭФФИЦИЕНТА $\psi_s$ , МОДЕЛИРУЕМОГО ВАРЬИРОВАНИЕМ СТРУКТУРНЫХ ФАКТОРОВ

**Олейник Н.В.** (Одесская государственная академия строительства и архитектуры, г. Одесса)

Приводятся результаты экспериментально-теоретических исследований влияния структурных факторов (количества и дисперсности минерального наполнителя) на коэффициент  $\psi_s$ , учитывающий работу растянутого бетона между трещинами, изгибаемых железобетонных элементов при разрушении по нормальным сечениям.

Трещиностойкость железобетонных конструкций по новым нормативным документам обеспечивается расчетом по образованию и по раскрытию нормальных и наклонных трещин. Расчет по образованию трещин производят для того, чтобы установить необходимость расчета по раскрытию трещин, необходимость учета трещин при расчете по деформациям, а также для определения некоторых вспомогательных характеристик [6].

Ширину раскрытия нормальных трещин определяют как произведение средней относительной деформации арматуры  $\varepsilon_{sm}$  на участке между трещинами и длины этого участка. Значения средней относительной деформации арматуры  $\varepsilon_{sm}$  определяют по деформации растянутой арматуры в сечении с трещиной  $\varepsilon_s$  с помощью известного коэффициента  $\psi_s$ , учитывающего работу растянутого бетона между трещинами. Для коэффициента  $\psi_s$  в новых нормах принято выражение, согласующееся с международными нормативными документами,

$$\psi_s = I - \beta \times \sigma_{s,crc} / \sigma_s, \quad (1)$$

где  $\sigma_{s,crc}$  - напряжение в растянутой арматуре сразу после образования трещин;  $\beta$  - коэффициент, принимаемый для тяжелого бетона равным 0,8.

Для изгибаемых элементов коэффициент  $\psi_s$  определяется по формуле

$$\psi_s = I - \beta \times M_{crc} / M \quad (2)$$

Из выражений (1) и (2) следует, что в момент образования трещин, когда  $\sigma_s = \sigma_{s,crc}$  или  $M = M_{crc}$ , коэффициент  $\psi_s$  имеет

наименьшее значение, равное для тяжелого бетона 0,2, а с увеличением напряжений в растянутой арматуре  $\sigma_s$  и момента  $M$  его значение приближается к 1,0. Следовательно, степень влияния работы растянутого бетона между трещинами на деформации растянутой арматуры на этом участке уменьшается с увеличением напряжений в арматуре в сечении с трещиной, а значения  $\varepsilon_s$  и  $\varepsilon_{sm}$  сближаются.

Коэффициент  $\psi_s$  существенно влияет на ширину раскрытия нормальных трещин. С уменьшением коэффициента  $\psi_s$  ширина раскрытия трещин уменьшается, с увеличением коэффициента  $\psi_s$  – увеличивается.

С целью исследования влияния количества и качества минерального на изменение коэффициента  $\psi_s$ , были изготовлены 9 железобетонных балок различных составов с таким расходом материалов на 1м<sup>3</sup>: цемент – 350кг, песок – 700кг, щебень – 1100кг, В/Ц=0,4. Опытные изгибаемые элементы армировались сварными пространственными каркасами с продольной рабочей арматурой периодического профиля класса А400С и диаметром 10мм (рис.1).

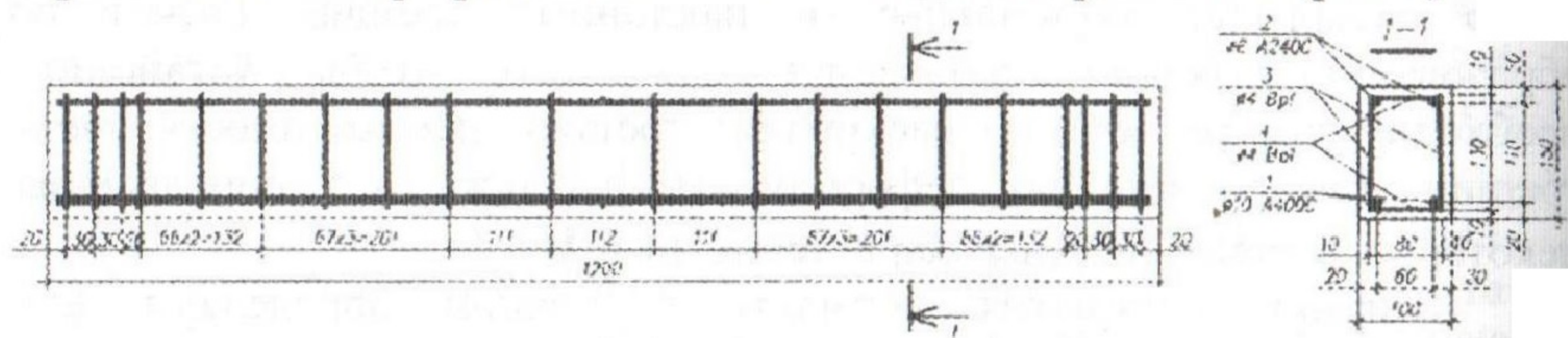


Рис. 1. Схема армирования.

Балки испытывались на изгиб по статической схеме как однопролетные, свободно опорные, загруженные сосредоточенными силами, расположенными в третях пролета. Схема нагружения представлена на рисунке 2.

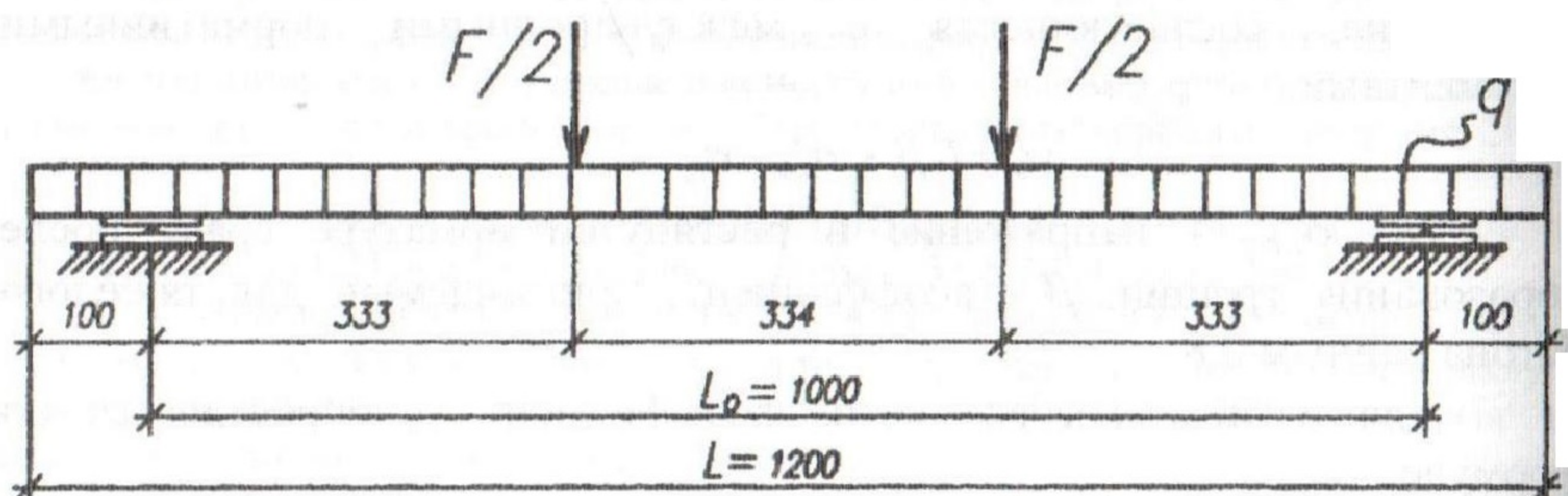


Рис. 2. Схема нагружения.

В качестве наполнителя использовался молотый кварцевый песок определенной дисперсности, приведенной в таблице 1, в количестве 8, 10 и 12% от массы цемента.

№ состава	Количество наполнителя Н, %	Дисперсность $S_y$ , $\text{м}^2/\text{кг}$
1	8	100
2		200
3		300
4	10	100
5		200
6		300
7	12	100
8		200
9		300

В таблице 2 приведены результаты расчета коэффициента  $\psi_s$  в зависимости от составов бетонов, а в таблице 3 – то же, но с учетом результатов эксперимента.

Как видно из графиков (рис. 3–8), соответствующих зависимостям, представленным по расчетам на основании теоретических данных, кривые имеют более близкие очертания, чем кривые, построенные по расчету с учетом экспериментальных данных. Расхождения в значениях составляют от 0 до 2,5%.

Таблица 2

Коэффициенты  $\psi_s$  в зависимости от составов бетонов (теоретические)

Ступень нагружения	№ состава								
	1	2	3	4	5	6	7	8	9
0,2M <sub>u</sub>	0,27178	0,37021	0,40728	0,38715	0,39772	0,42636	0,39329	0,40925	0,38392
0,3M <sub>u</sub>	0,66452	0,66348	0,68819	0,67477	0,68181	0,70091	0,67886	0,68950	0,67261
0,4M <sub>u</sub>	0,81089	0,81011	0,82864	0,81858	0,82386	0,83818	0,82164	0,82962	0,81696
0,5M <sub>u</sub>	0,89871	0,89809	0,91291	0,90486	0,90909	0,92055	0,90731	0,91370	0,90357
0,6M <sub>u</sub>	0,95726	0,95674	0,96909	0,96238	0,96591	0,97546	0,96443	0,96975	0,96131
0,7M <sub>u</sub>	0,99908	0,99863	1	1	1	1	1	1	1
0,8M <sub>u</sub>	1	1	1	1	1	1	1	1	1
0,9M <sub>u</sub>	1	1	1	1	1	1	1	1	1
M <sub>u</sub>	1	1	1	1	1	1	1	1	1

Таблица 3

Коэффициенты  $\psi_s$  в зависимости от составов бетонов (с учетом эксперимента)

Ступень нагружения	№ состава								
	1	2	3	4	5	6	7	8	9
0,2M <sub>u</sub>	0,25068	0,34768	0,48419	0,30656	0,46767	0,50522	0,47951	0,49098	0,43839
0,3M <sub>u</sub>	0,70003	0,68992	0,69024	0,61579	0,73107	0,74575	0,73597	0,74038	0,71543
0,4M <sub>u</sub>	0,74051	0,78493	0,85362	0,77592	0,86054	0,87279	0,86273	0,86472	0,84256
0,5M <sub>u</sub>	0,84380	0,88251	0,93356	0,87387	0,94122	0,94543	0,94091	0,93881	0,92268
0,6M <sub>u</sub>	0,90502	0,94043	0,98431	0,93552	0,99154	0,99694	0,99309	0,99068	0,98016
0,7M <sub>u</sub>	0,95430	0,98466	1	0,97728	1	1	1	1	1
0,8M <sub>u</sub>	0,99126	1	1	1	1	1	1	1	1
0,9M <sub>u</sub>	1	1	1	1	1	1	1	1	1
M <sub>u</sub>	1	1	1	1	1	1	1	1	1

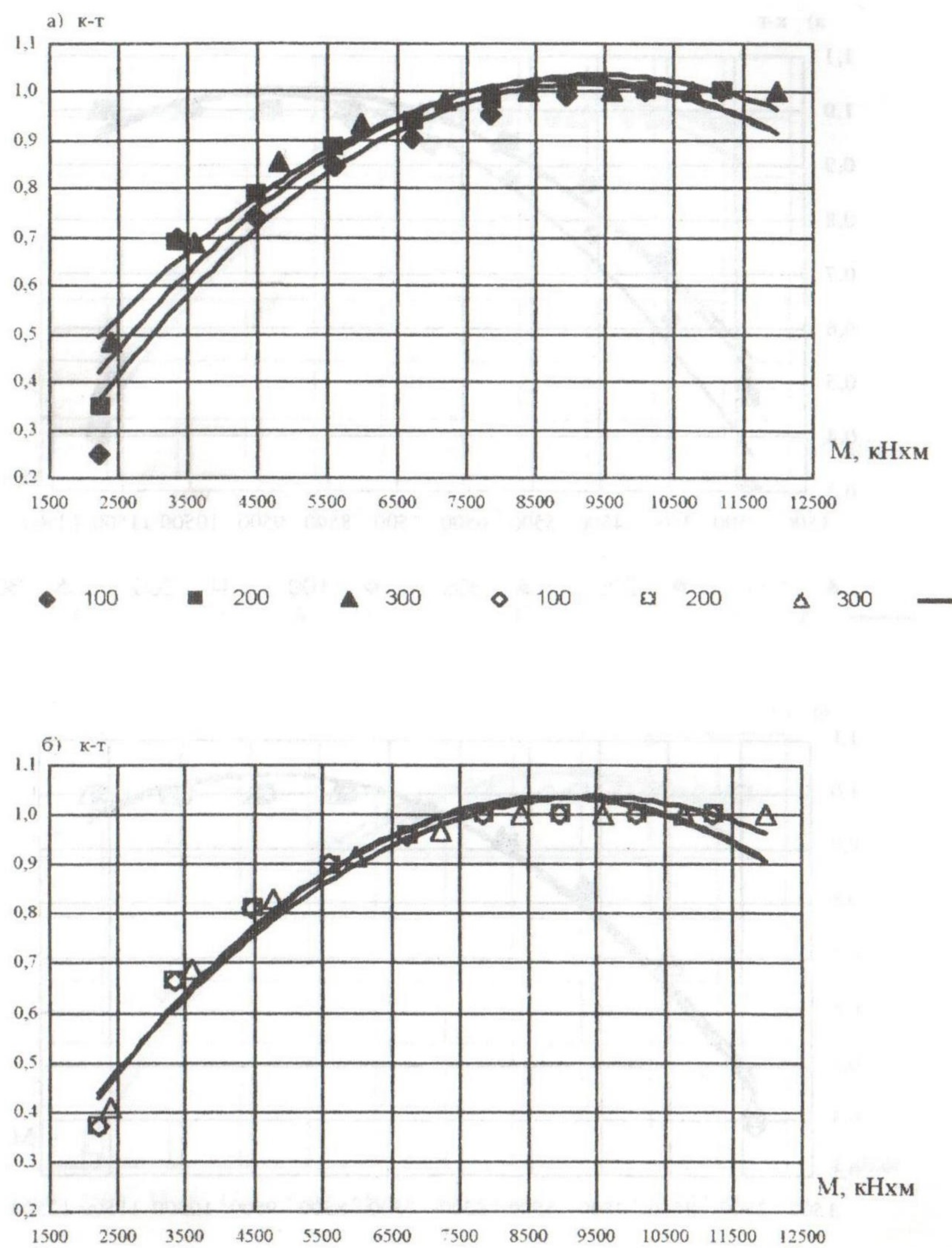


Рис. 3. Коэффициенты  $\psi_s$  в зависимости от составов бетонов дисперсностей  $S_y = 100; 200; 300 \text{ м}^3/\text{кг}$  и количества наполнителя  $H=8\%$   
а) с учетом эксперимента; б) теоретические

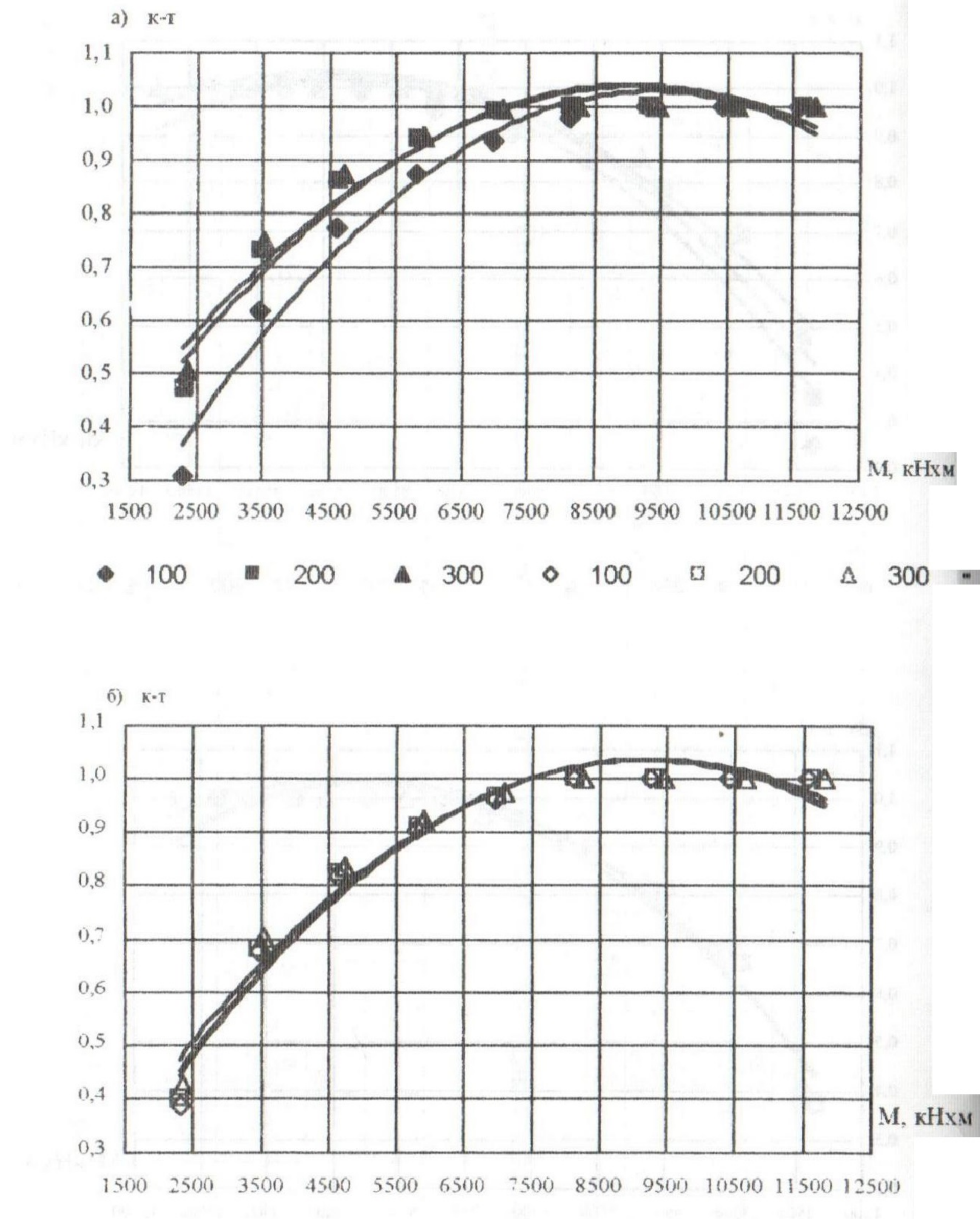


Рис. 4. Коэффициенты  $\psi_s$  в зависимости от составов бетонов дисперсностей  $S_y = 100; 200; 300 \text{ м}^2/\text{кг}$  и количества наполнителя  $H=10\%$  а) с учетом эксперимента; б) теоретические

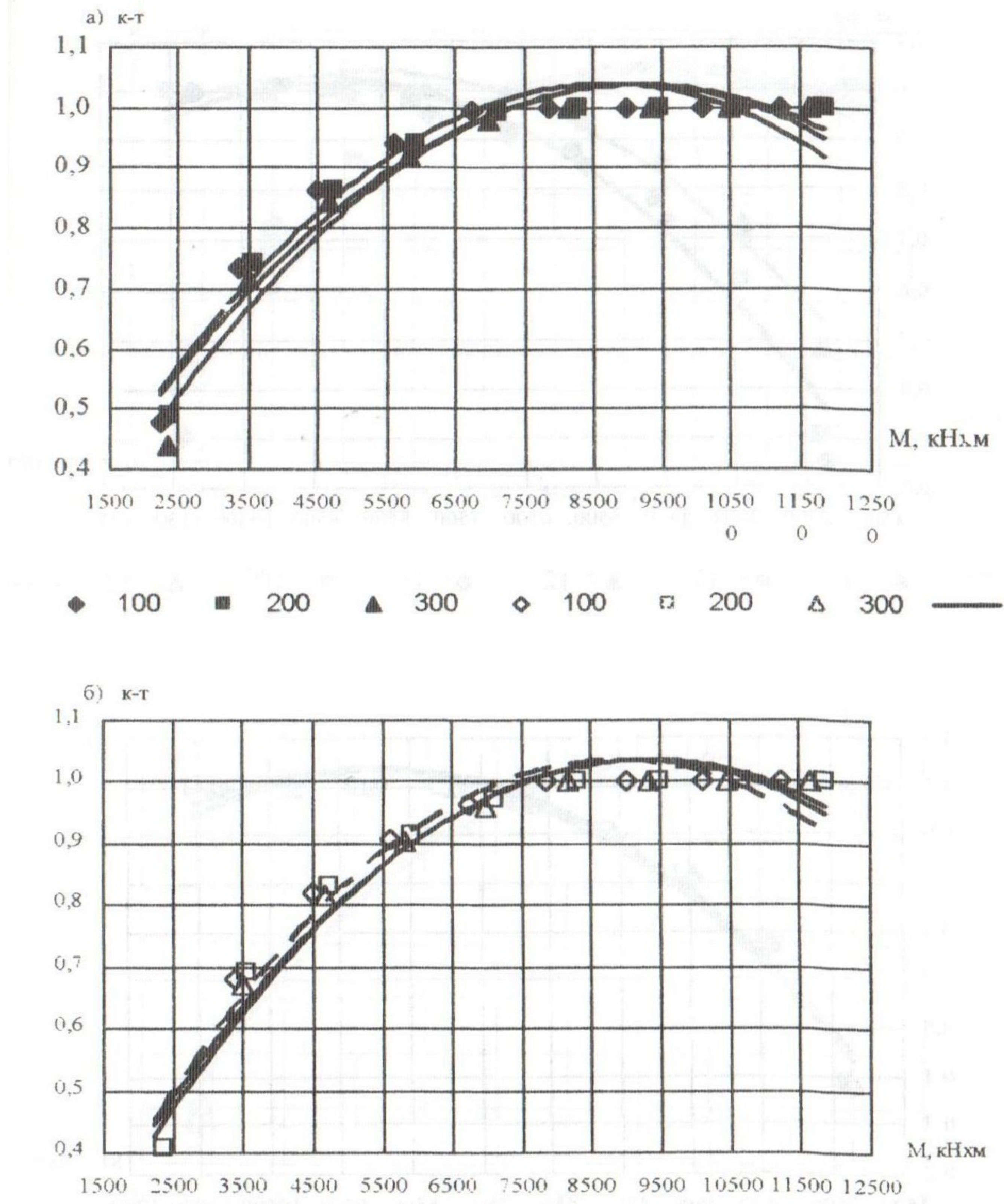


Рис. 5. Коэффициенты  $\psi_s$  в зависимости от составов бетонов дисперсностей  $S_y = 100; 200:300 \text{ м}^2/\text{кг}$  и количества наполнителя  $H=12\%$

а) с учетом эксперимента; б) теоретические

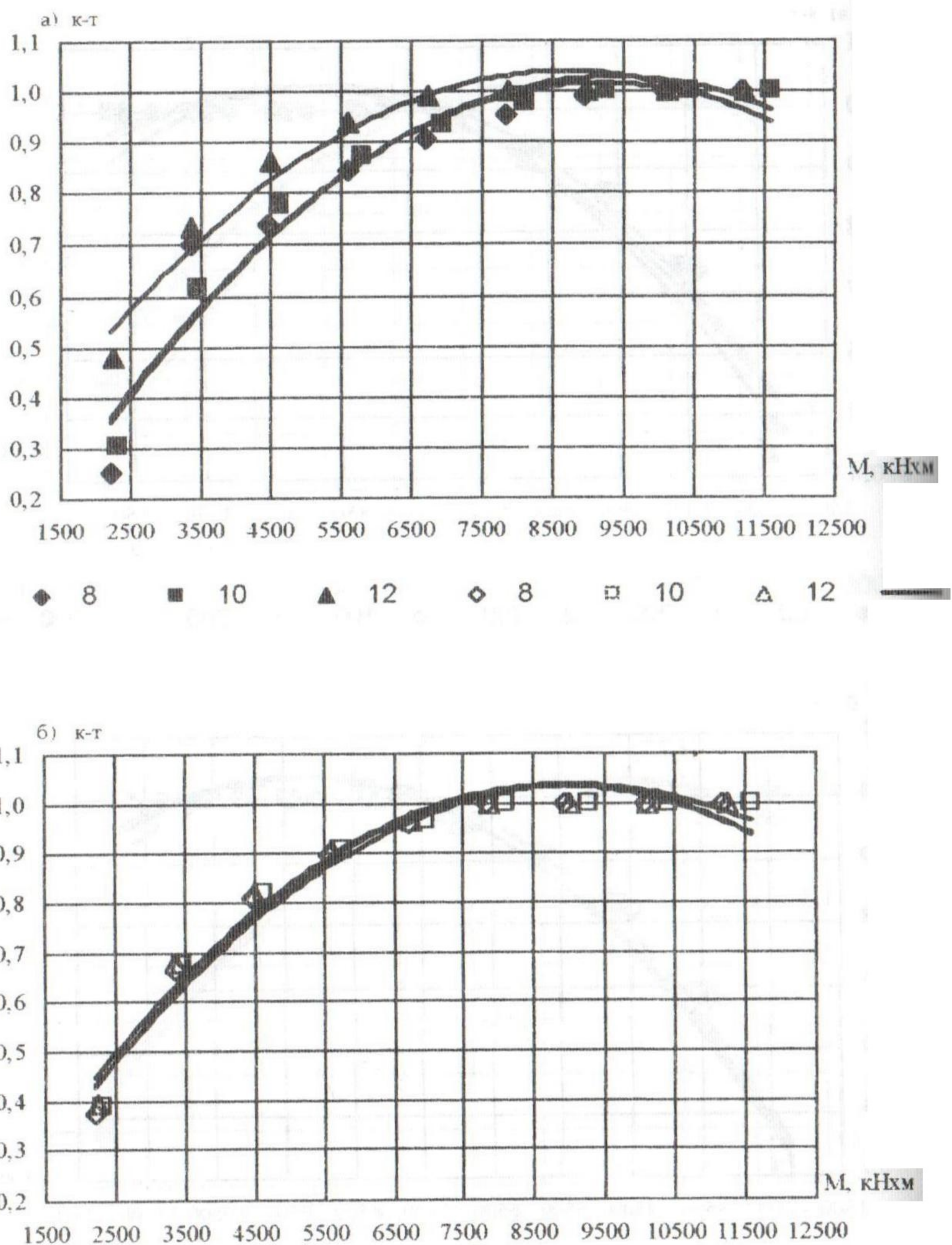


Рис.6. Коэффициенты  $\psi_s$  в зависимости от составов бетонов количества наполнителя  $H=8; 10; 12\%$  и дисперсности  $S_y = 100 \text{ м}^2/\text{кг}$   
а) с учетом эксперимента; б) теоретические

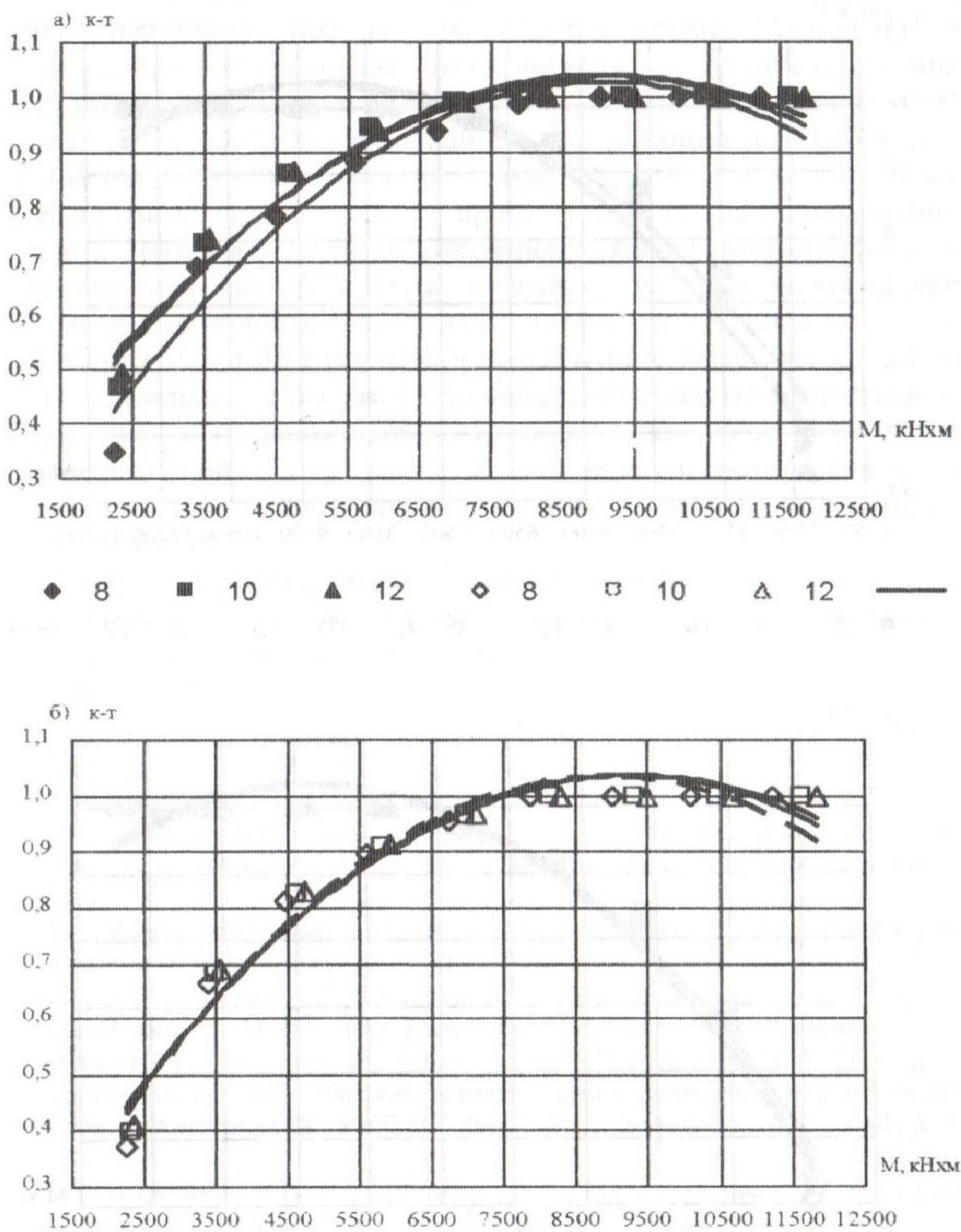


Рис. 7. Коэффициенты  $\psi_s$  в зависимости от составов бетонов количества наполнителя  $H=8; 10; 12\%$  и дисперсности  $S_y = 200 \text{ м}^2/\text{кг}$   
а) с учетом эксперимента; б) теоретические

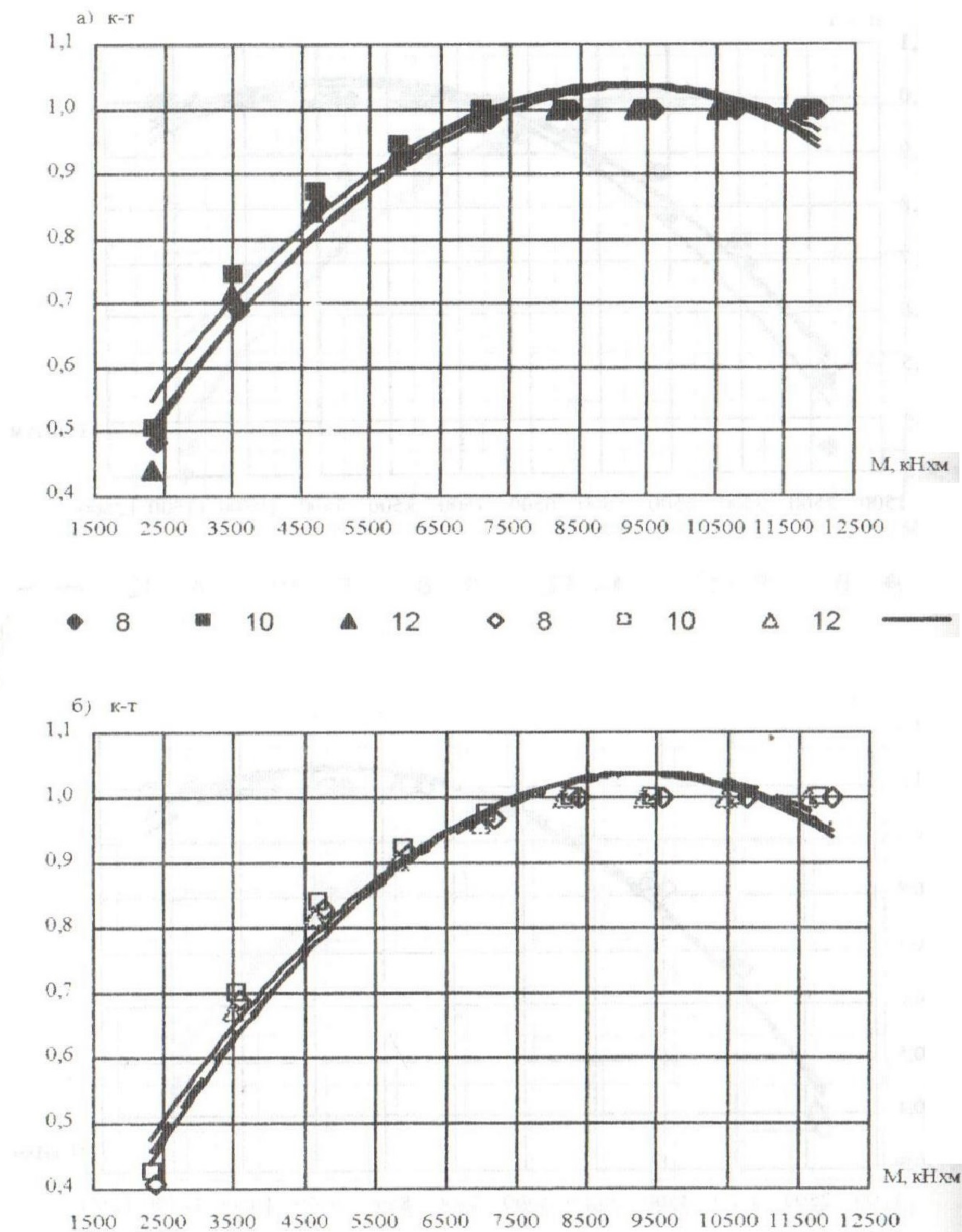


Рис. 8. Коэффициенты  $\psi_s$  в зависимости от составов бетонов количества наполнителя  $H=8; 10; 12\%$  и дисперсности  $S_y = 300 \text{ м}^2/\text{кг}$   
а) с учетом эксперимента; б) теоретические

При сравнении кривых, отражающих зависимости по расчетам с учетом экспериментальных данных, следует отметить, что при  $H=8$  и 10% максимальные значения коэффициента  $\psi_s$  (соответствующие  $S_y=300 \text{ м}^2/\text{кг}$ ) превышают минимальные (соответствующие  $S_y=100 \text{ м}^2/\text{кг}$ ) на уровне  $M=2500 \text{ кНм}$  (наибольшая разница) на 43,75%. Для зависимостей  $H=12\%$  значение при  $S_y=300 \text{ м}^2/\text{кг}$  является минимальным на том же уровне, а при  $S_y=100 \text{ м}^2/\text{кг}$  – максимальными, но уже с разницей 10% в значениях. Анализируя графики с фиксированными дисперсностями, отмечается разница значений при  $S_y=100 \text{ м}^2/\text{кг}$  для кривых  $H=12\%$  (max) и  $H=10$  и 8% (min) – 43,75%. При  $S_y=200$  и  $300 \text{ м}^2/\text{кг}$  расхождения в значениях составляют от 17 до 8,5%. В дальнейшем, с ростом напряжений, значения коэффициента  $\psi_s$  приближаются к 1, а при  $0,7M_u - M_u$  равны 1, что свидетельствует о равенстве значений  $\varepsilon_s$  и  $\varepsilon_{sm}$ . При этом кривые как теоретические, так и учитывающие эксперимент, становятся очень близкими и в некоторых случаях сливаются.

Таким образом можно сделать вывод о достаточно существенном влиянии варьирования дисперсностью и количеством наполнителя на изменение значений коэффициента  $\psi_s$  на этапах нагружения  $0,2-0,5M_u$ .

## Литература

1. Дорофеев В.С., Выровой В.Н. Технологическая поврежденность строительных материалов и конструкций: Монография.– О.: Город мастеров, 1998.–168с.
2. Композиционные строительные материалы и конструкции пониженной материалоёмкости / В.И. Соломатов, В.Н. Выровой, В.С. Дорофеев, А. В. Сиренко. - К.: Будивельник, 1991. – 144 с.
3. Выровой В.Н., Дорофеев В.С. Методические рекомендации. Материалоемкость строительных конструкций. – Одесса: ОИСИ, 1990г. – 70с.
4. Технологическая наследственность композиционных строительных материалов и конструкций: Учеб.пособие / В.С. Дорофеев. – К.: УМК ВО, 1992. – 52с.
5. Выровой В.Н., Дорофеев В.С. Технологическая механика композиционных материалов. – Киев: Общество “Знание” Украины, 1991г. – 19с.
6. Залесов А.С., Мухамедиев Т.А., Чистяков Е.А. Расчет трещиностойкости железобетонных конструкций по новым нормативным документам // Бетон и железобетон. - 2002. - № 5. – С. 15 – 19.